

Н.Н. Безуглова, Ю.А. Суковатов,
К.Ю. Суковатов, И.А. Суторихин

Об улучшенной модели горизонтально-неоднородного пограничного слоя атмосферы

Уравнения пограничного слоя атмосферы (ПСА) обычно решаются вместе с эмпирическими пристенными функциями, которые позволяют избежать численных расчетов в области больших градиентов вблизи подстилающей поверхности. В случае горизонтальной неоднородности свойств подстилающей поверхности, трехмерных потоков, нестационарных потоков и поверхностей, где происходит тепло- и влагообмен, пристенные функции неприменимы [1]. Зарубежными авторами предложено несколько способов замыкания системы уравнений турбулентного ПСА, не использующих пристенные функции [1]. Наиболее широко используется модель Лаундера и Шармы для двумерного потока [1], однако эта модель содержит добавочные члены в уравнениях для кинетической энергии турбулентности b и скорости диссипации энергии турбулентности ε . Большую проблему представляет использование этих добавочных членов в случае более общей трехмерной модели.

В настоящей работе проводится анализ другого способа замыкания системы уравнений турбулентности, предложенного Ламой и Брэмхорстом [2]. Эта модель сформулирована для трехмерного случая и не содержит добавочных членов в уравнениях для кинетической энергии турбулентности и скорости диссипации энергии турбулентности. Модель Ламы и Брэмхорста предназначена для расчетов вблизи стенки. Можно использовать эту модель для расчетов структуры горизонтально-неоднородного пограничного слоя атмосферы, если учесть силу Кориолиса и силы плавучести. Кроме того, необходимо добавить уравнения для переноса тепла, влаги и пассивной примеси. Полученная модель применима на любых расстояниях от подстилающей поверхности. Описанная модель горизонтально-неоднородного ПСА имеет вид:

$$\frac{\partial}{\partial z} \left[\left(v + \frac{k}{\delta_u} \right) \frac{\partial u}{\partial z} \right] - w \frac{\partial u}{\partial z} - u \frac{\partial u}{\partial x} + f v = 0, \quad (1)$$

$$\frac{\partial}{\partial z} \left[\left(v + \frac{k}{\delta_v} \right) \frac{\partial v}{\partial z} \right] - w \frac{\partial v}{\partial z} - u \frac{\partial v}{\partial x} - f(u - G) = 0 \quad (2)$$

$$\frac{\partial u}{\partial x} + \frac{\partial w}{\partial z} = 0, \quad (3)$$

$$\frac{\partial}{\partial z} \left[\left(v + \frac{k}{\delta_b} \right) \frac{\partial b}{\partial z} \right] - w \frac{\partial b}{\partial z} - u \frac{\partial b}{\partial x} + k \left[\left(\frac{\partial u}{\partial z} \right)^2 + \left(\frac{\partial v}{\partial z} \right)^2 - \beta \frac{\partial \theta}{\partial z} - \beta_1 \frac{\partial q}{\partial z} \right] - \varepsilon = 0, \quad (4)$$

$$\frac{\partial}{\partial z} \left[\left(v + \frac{k}{\delta_\varepsilon} \right) \frac{\partial \varepsilon}{\partial z} \right] - w \frac{\partial \varepsilon}{\partial z} - u \frac{\partial \varepsilon}{\partial x} + c_{\varepsilon 1} f_1 \frac{\varepsilon}{b} k \left[\left(\frac{\partial u}{\partial z} \right)^2 + \left(\frac{\partial v}{\partial z} \right)^2 \right] - \alpha_\theta \frac{g}{\theta} \frac{d\theta}{dz} \frac{\varepsilon}{b} - c_{\varepsilon 2} f_2 \frac{\varepsilon^2}{b} = 0, \quad (5)$$

$$\frac{\partial}{\partial z} \left[\left(v + \frac{k}{\delta} \right) \frac{\partial \theta}{\partial z} \right] - w \frac{\partial \theta}{\partial z} - u \frac{\partial \theta}{\partial x} = 0 \quad (6)$$

$$\frac{\partial}{\partial z} \left[\left(v + \frac{k}{\delta} \right) \frac{\partial q}{\partial z} \right] - w \frac{\partial q}{\partial z} - u \frac{\partial q}{\partial x} = 0 \quad (7)$$

$$\frac{\partial}{\partial z} \left[\left(v + \frac{k}{\delta} \right) \frac{\partial e}{\partial z} \right] - w \frac{\partial e}{\partial z} - u \frac{\partial e}{\partial x} = 0 \quad (8)$$

$$k = c_\mu f_\mu b_2 / \varepsilon, \quad (9)$$

$$R_T = b^2 / \nu \varepsilon, \quad (10)$$

$$R_z = (\sqrt{b}) z / \nu, \quad (11)$$

$$f_\mu = [1 - \exp(-0,0165 R_z)]^2 \left(1 + \frac{20,5}{R_T} \right), \quad (12)$$

$$f_1 = 1 + \left(\frac{0,05}{f_\mu} \right)^3, \quad (13)$$

$$f_2 = 1 - \exp(-R_T^2). \quad (14)$$

$c_\mu, c_{\varepsilon 1}, c_{\varepsilon 2}, \delta, \delta_\varepsilon$ – эмпирические константы, ν – молекулярная кинематическая вязкость, b – кинетическая энергия турбулентности, e – скорость диссипации турбулентной энергии в тепло, k – коэффициент турбулентного обмена, u, v, w – компоненты скорости, θ – потенциальная температура, q – влажность,

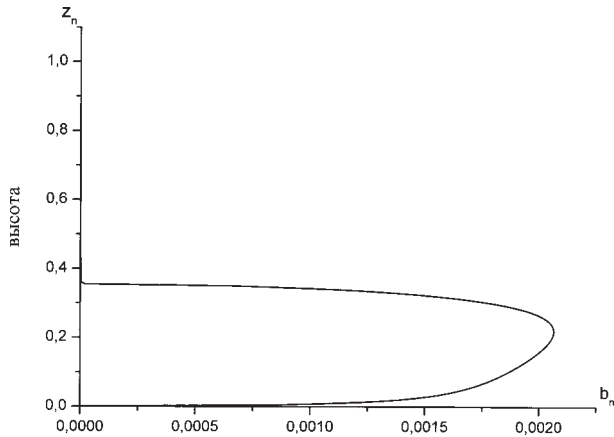


Рис. 1. Вертикальный профиль кинетической энергии турбулентности (b_n)

e – концентрация примеси, x, z – горизонтальная и вертикальная координаты, G – скорость геострофического ветра.

Граничные условия:

$$z = z_1 \quad u = w = 0, \quad b = 0, \quad \frac{\partial e}{\partial z} = 0$$

$$z = 1 \quad u = G, \quad b = 0, \quad e = 0.$$

Нами были проведены расчеты по упрощенной модели (1–10) с целью сравнения полученных результатов с данными по распределению кинетической энергии турбулентности и скорости диссипации энергии турбулентности вблизи стенки, приведенными в [1]. На рисунке 1 представлено вертикальное распределение энергии турбулентности b в ПСА. При расчетах использовались нормированные величины. Энергия турбулентности b норми-

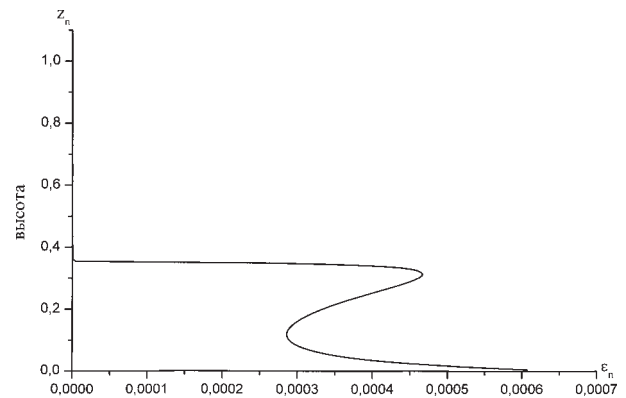


Рис. 2. Вертикальный профиль скорости диссипации энергии турбулентности

рована на G^2 , вертикальная координата на высоту пограничного слоя h . Наблюдается хорошее соответствие рассчитанного профиля с экспериментальными данными по распределению энергии турбулентности, приведенными в [1]. На рисунке 2 приведено рассчитанное распределение по высоте скорости диссипации энергии турбулентности ϵ . Скорость диссипации энергии турбулентности нормирована на G^3/h . Рассчитанный профиль скорости диссипации энергии турбулентности также хорошо согласуется с экспериментальными данными, приведенными в [1]. Это соответствие показывает, что можно применять полную описанную выше модель турбулентности (1–14) для расчетов параметров горизонтально-неоднородного ПСА, что и предполагается сделать в дальнейшем.

Литература

1. V. C. Patel, W. Rodi, G. Scheuerer. Turbulence Models for Near-Wall and Low Reynolds Number Flows: A Review. AIAA J., 1985. T. 23, N9. P. 1308–1319.

2. C.K.G. Lam, K. Bremhorst. F Modelling Form of the Model for Predicting Wall Turbulence, Journal of Fluids Engineering, September, 1981. Vol. 103. P. 456–460.